

DOI:10.16781/j.CN31-2187/R.20220021

· 论著 ·

## 心脏磁共振定量右心室小梁和隔缘肉柱质量评价肺动脉高压早期右心室功能受损的价值

杜雅敏<sup>1</sup>, 张 璇<sup>1</sup>, 杨 帆<sup>1</sup>, 邓瑷琳<sup>1</sup>, 闫 彦<sup>1</sup>, 李岩红<sup>1</sup>, 杨振文<sup>2</sup>, 李 东<sup>1\*</sup>

1. 天津医科大学总医院放射科, 天津 300052

2. 天津医科大学总医院心血管内科, 天津 300052

**[摘要]** 目的 应用心脏磁共振(CMR)测量右心室结构质量指数, 评价其对肺动脉高压(PH)患者右心室功能受损的诊断能力。方法 回顾性纳入2015年1月至2019年1月于天津医科大学总医院经右心导管检查确诊的PH患者50例, 包括右心室射血分数(RVEF)保留组( $RVEF \geq 45\%$ )17例和RVEF减低组( $RVEF < 45\%$ )33例; 另纳入2014年2月至2016年6月于天津医科大学总医院接受CMR检查的健康志愿者25名为健康对照组。在CMR电影序列图像上手动勾画并经体表面积校正获得右心室结构质量指数, 包括右心室心肌质量指数(RVMMI)、右心室小梁和乳头肌质量指数(RVTMMI)、右心室隔缘肉柱质量指数(RVSMTMI)。对右心室结构质量指数与CMR常规心功能参数及右心导管检查指标进行相关性分析。对RVEF保留组与RVEF减低组间及RVEF保留组与健康对照组间差异有统计学意义的CMR参数进行ROC曲线分析, 分别评价这些参数对PH患者右心室功能障碍或受损的诊断价值。结果 RVMMI、RVTMMI、RVSMTMI测量用时分别为15(14, 18)、20(17, 22)、2(2, 3)min。RVMMI、RVTMMI、RVSMTMI与平均右心房压(mRAP)、平均肺动脉压(mPAP)、肺血管阻力(PVR)、右心室舒张末期容积指数(RVEDVI)均呈正相关, 与混合静脉血氧饱和度(SvO<sub>2</sub>)、RVEF均呈负相关( $P$ 均<0.01)。RVEF减低组的RVEDVI、右心室收缩末期容积指数(RVESVI)、RVMMI、RVTMMI、RVSMTMI均高于RVEF保留组和健康对照组( $P$ 均<0.05), RVEF保留组RVMMI、RVTMMI、RVSMTMI均高于健康对照组( $P$ 均<0.05)。ROC曲线分析结果显示, RVMMI、RVTMMI、RVSMTMI对PH患者的右心室功能障碍、早期右心室功能受损均有较好的诊断效能(AUC值分别为0.864、0.894, 0.829、0.864, 0.842、0.953)。结论 CMR右心室结构质量指数RVMMI、RVTMMI、RVSMTMI可以反映PH早期右心室形态学改变, 对PH患者早期右心室功能受损有较好的诊断价值, 其中RVSMTMI作为一个较为简便、直观的指标有潜力应用于临床实践。

**[关键词]** 肺动脉高压; 磁共振电影成像; 右心室肥大; 心肌; 隔缘肉柱; 小梁; 乳头肌

**[中图分类号]** R 544.1

**[文献标志码]** A

**[文章编号]** 2097-1338(2022)07-0765-07

## Quantitation of right ventricular trabecular and septomarginal trabecula mass by cardiac magnetic resonance in evaluating early impairment of right ventricular function in pulmonary hypertension patients

DU Ya-min<sup>1</sup>, ZHANG Zhang<sup>1</sup>, YANG Fan<sup>1</sup>, DENG Yuan-lin<sup>1</sup>, YAN Yan<sup>1</sup>, LI Yan-hong<sup>1</sup>, YANG Zhen-wen<sup>2</sup>, LI Dong<sup>1\*</sup>

1. Department of Radiology, Tianjin Medical University General Hospital, Tianjin 300052, China

2. Department of Cardiovasology, Tianjin Medical University General Hospital, Tianjin 300052, China

**[Abstract]** Objective To assess the value of right ventricular (RV) structural mass parameters measured by cardiac magnetic resonance (CMR) in evaluating early impairment of RV function in pulmonary hypertension (PH) patients. Methods Fifty PH patients diagnosed by right heart catheterization in Tianjin Medical University General Hospital from Jan. 2015 to Jan. 2019 were retrospectively enrolled, including 17 patients in the preserved right ventricular ejection fraction (RVEF) group ( $RVEF \geq 45\%$ ) and 33 patients in the reduced RVEF group ( $RVEF < 45\%$ ); in addition, 25 healthy volunteers who underwent CMR in Tianjin Medical University General Hospital from Feb. 2014 to Jun. 2016 were included

**[收稿日期]** 2022-01-07 **[接受日期]** 2022-03-29

**[基金项目]** 中华国际医学交流基金会SKY影像科研基金(Z-2014-07-2003-05), 国家自然科学基金(82071907), 天津市自然科学基金(18JCYBJC25100), 天津市卫生健康科技项目(MS20022). Supported by SKY Imaging Research Fund of International Medical Foundation of China (Z-2014-07-2003-05), National Natural Science Foundation of China (82071907), Natural Science Foundation of Tianjin (18JCYBJC25100), and Tianjin Health Science and Technology Project (MS20022).

**[作者简介]** 杜雅敏,硕士生. E-mail: xmm33699633@163.com

\*通信作者(Corresponding author). Tel: 022-60364125, E-mail: dr\_lidong@163.com

as healthy control group. The RV structural mass parameters such as right ventricular myocardial mass index (RVMMI), right ventricular trabecular and papillary muscle mass index (RVTPMMI), and right ventricular septomarginal trabecula mass index (RVSMTMI) were obtained by manually sketching on CMR cine images and calibrated by body surface area. Correlation analysis was used to analyze the relationship between RV structural mass parameters and CMR routine cardiac functional parameters and right heart catheterization parameters. The statistically significant parameters between the preserved RVEF group and reduced RVEF group and between the preserved RVEF group and healthy control group were analyzed using the receiver operating characteristic (ROC) curves, and the diagnostic value of these parameters in RV dysfunction or impairment in PH patients was evaluated. **Results** The time used for measurement of RVMMI, RVTPMMI, and RVSMTMI was 15 (14, 18), 20 (17, 22), and 2 (2, 3) min, respectively. RVMMI, RVTPMMI and RVSMTMI were positively correlated with mean right atrial pressure (mRAP), mean pulmonary artery pressure (mPAP), pulmonary vascular resistance (PVR) and right ventricular end-diastolic volume index (RVEDVI), but negatively correlated with oxygen saturation in mixed venous blood ( $SvO_2$ ) and RVEF (all  $P < 0.01$ ). RVEDVI, right ventricular end-systolic volume index (RVESVI), RVEF, RVMMI, RVTPMMI and RVSMTMI in the reduced RVEF group were significantly higher than those in the preserved RVEF group ( $P < 0.05$ ); RVMMI, RVTPMMI and RVSMTMI in the preserved RVEF group were significantly higher than those in the healthy control group (all  $P < 0.05$ ). ROC curve analysis showed that RVMMI, RVTPMMI and RVSMTMI had good diagnostic performance for RV dysfunction and early RV impairment in PH patients (area under curve values were 0.864 and 0.894, 0.829 and 0.864, 0.842 and 0.953, respectively). **Conclusion** RV structural mass parameters (RVMMI, RVTPMMI and RVSMTMI) measured by CMR can reflect the early morphological changes of RV structures in PH patients, and have good diagnostic value for the early impairment of RV function in PH patients. Additionally, RVSMTMI, as a simple and intuitive index, has the potential for clinical application.

[Key words] pulmonary hypertension; magnetic resonance cine; right ventricular hypertrophy; myocardium; septomarginal trabecula; trabecula; papillary muscle

[Acad J Naval Med Univ, 2022, 43(7): 765-771]

肺动脉高压 (pulmonary hypertension, PH) 是一种复杂的肺血管疾病, 持续性肺循环压力升高会使右心室结构及功能发生变化, 超过右心室的代偿能力时出现右心衰竭<sup>[1-2]</sup>。PH患者早期并没有特异性临床表现, 若不及时治疗预后极差<sup>[3]</sup>。PH患者右心室形态及功能的改变是评估PH患者疾病严重程度的重要因素<sup>[4]</sup>。研究发现, 小梁和乳头肌 (trabecula and papillary muscle, TPM)、隔缘肉柱 (septomarginal trabecula, SMT) 在正常人及左心室心肌病患者的心脏评估中不可忽略, 也应被纳入右心室质量的计算中, 且右心室 TPM、SMT 肥大可能是右心室适应后负荷增加的重要改变<sup>[5-7]</sup>。心脏磁共振 (cardiac magnetic resonance, CMR) 作为一种无创、无电离辐射的检查手段, 能够准确评估PH早期的心室结构改变<sup>[4,6,8]</sup>。本研究应用CMR对右心室心肌质量指数 (right ventricular myocardial mass index, RVMMI)、右心室小梁和乳头肌质量指数 (right ventricular trabecula and papillary muscle mass index, RVTPMMI) 及右心室隔缘肉柱质量指数 (right ventricular septomarginal trabecula mass index, RVSMTMI) 等右心室形态学参数进行

测量, 评价PH患者的早期右心室功能受损。

## 1 资料和方法

1.1 研究对象 回顾性纳入2015年1月至2019年1月于天津医科大学总医院经右心导管检查确诊的PH患者。纳入标准: (1) 经右心导管检查首诊为PH; (2) CMR检查与右心导管检查间隔不超过14 d; (3) 患者无CMR检查禁忌证且CMR图像质量达到诊断要求。排除标准为患者患有严重瓣膜性心脏病、冠心病、心肌病等。CMR诊断右心室功能障碍的标准为右心室射血分数 (right ventricular ejection fraction, RVEF)  $< 45\%$ <sup>[9]</sup>。根据RVEF是否减低将PH患者分为RVEF保留组 (RVEF  $\geq 45\%$ ) 和RVEF减低组 (RVEF  $< 45\%$ ) , RVEF保留组PH患者被认为右心室功能处于受损状态, RVEF减低组PH患者被认为存在右心室功能障碍。根据入组PH患者的性别比纳入2014年2月至2016年10月于天津医科大学总医院接受CMR检查的25名健康志愿者为健康对照组, 健康志愿者的心率、血压均在正常参考值范围, 无CMR检查禁忌证及心肺疾病等病史。本研究通过

天津医科大学总医院伦理委员会审批 (ZYY-IRB-SOP-016 [F] -002-04)。

**1.2 设备与方法** 所有受试者均采用美国GE公司1.5 T Twin-speed Infinity with Excite II超导型磁共振扫描仪采集图像,8通道相控阵线圈,同时使用心电门控与呼吸门控。采用二维真稳态进动梯度回波序列,获取左心室垂直长轴位、短轴位及水平长轴位电影图像。成像参数如下:重复时间为3.40~3.60 ms,回波时间为1.50~1.60 ms,翻转角为45°,带宽为125 kHz,视野为35 cm×35 cm,矩阵为224×224,层厚为8 mm,层间距为0 mm,激励次数为1。短轴位扫描范围为心底至心尖覆盖整个左心室和右心室,根据每名受试者的心脏大小采集10~14层,每层图像采集期间屏气时间为8~14 s。

**1.3 图像处理** 将CMR电影图像传输至AW 4.5

(Advantage Windows version 4.5)工作站,并应用Report Card 4.0软件进行图像观察、后处理及参数测量。选择短轴位电影序列,将心室的短轴位图像与水平长轴位图像相互参考,确定应描记的层面,手动调节对比度和亮度,以实现心肌、小梁和血池之间的最佳对比度,人工识别舒张末期及收缩末期图像,手动勾画心室心内膜及心外膜轮廓。首先将右心室小梁包括在右心室心肌质量内完成第1次勾画,得到右心室心肌质量(包括右心室游离壁和TPM);然后将右心室小梁排除在右心室心肌质量外进行第2次勾画,得到右心室游离壁质量;2次测量的心肌质量的差值则被认定为右心室TPM质量(测量时间约为20 min)。在短轴位电影序列舒张末期图像上手动勾画SMT轮廓(测量时间为2~3 min)。见图1。

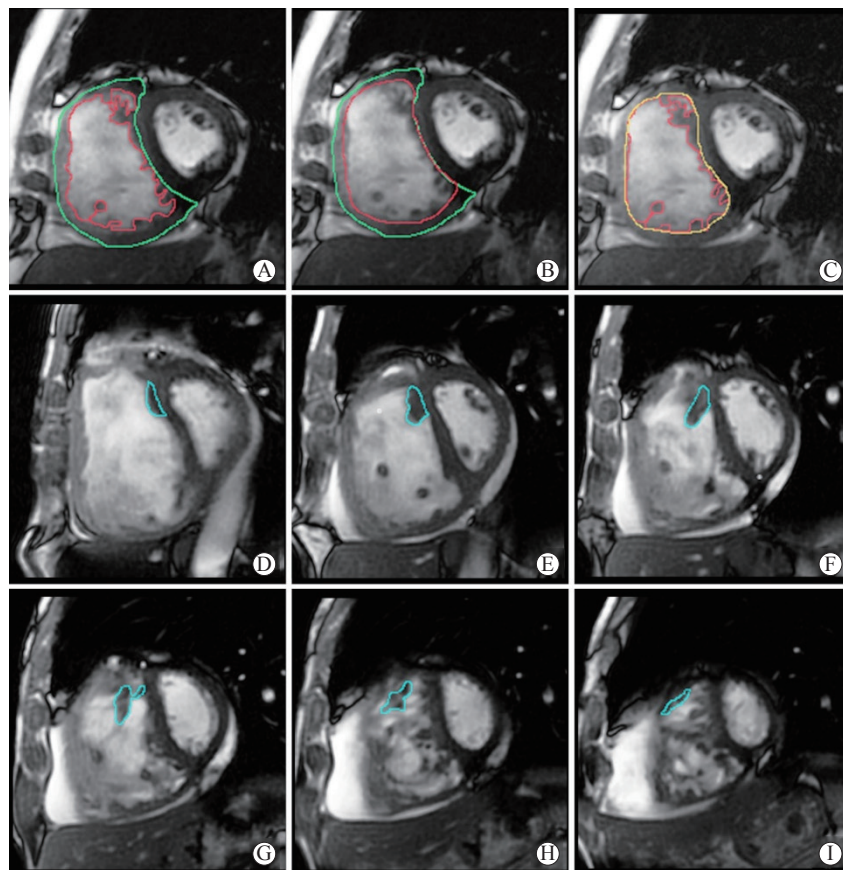


图1 CMR短轴位电影序列图像上右心室 TPM 及 SMT 的勾画示意图

**Fig 1 Sketch diagram of right ventricular TPM and SMT on CMR short axis cine sequence images**

A-C: Sketch diagram of TPM. The endocardium is outlined in red and the epicardium is outlined in green. The zone between the red line and the green line is the total right ventricular, which compacts free wall with inclusion of TPM (A); the zone between the red line and the green line represents the right ventricular, which compacts free wall without TPM (B); the zone between the red line and the orange line represents the TPM (C). D-I: Sketch diagram of SMT. The SMT is outlined in blue. SMT arises from the interventricular septum at the lower segment of the crista supraventricularis and terminates at the anterior wall of the apical right ventricular. We identify the SMT next to the septum and draw the outline of each layer of SMT. CMR: Cardiac magnetic resonance; TPM: Trabecula and papillary muscle; SMT: Septomarginal trabecula.

软件自动生成右心室舒张末期容积、右心室收缩末期容积、右心室每搏输出量、RVEF、右心室心肌质量及右心室SMT质量。将上述得到的指标经体表面积校正后得到相应指数,用于统计学分析。图像处理由1名有3年以上CMR阅片经验的影像科住院医师独立完成。第1次阅片后8周随机抽取15例受试者的图像,由同1名医师进行二次处理,所得数据用于观察者内一致性分析;同时由另外1名有4年以上CMR阅片经验的影像科住院医师对上述15例受试者的图像进行独立、双盲处理,所得数据用于观察者间测量结果的一致性分析。测量RVMMI、RVTPMMI、RVSMTMI所用的时间以第1名住院医师的测量用时为准。

**1.4 右心导管检查** 所有PH患者均行右心导管检查,患者取仰卧位,用Swan-Ganz导管经股静脉穿刺并在X线透视下进入右心房、右心室及主肺动脉,测量相应血流动力学参数,包括收缩期肺动脉压(systolic pulmonary arterial pressure, sPAP)、舒张期肺动脉压(diastolic pulmonary arterial pressure, dPAP)、平均肺动脉压(mean pulmonary artery pressure, mPAP)、肺血管阻力(pulmonary vascular resistance, PVR)、平均右心房压(mean right atrial pressure, mRAP)和混合静脉血氧饱和度(oxygen saturation in mixed venous blood,  $SvO_2$ )。

**1.5 统计学处理** 应用SPSS 22.0软件对数据进行统计分析。计量资料若符合正态分布且方差齐以 $\bar{x} \pm s$ 表示,两组间比较采用独立样本t检验;3组间比较采用单因素方差分析,多重比较采用最小显著性差异法。计量资料若不符合正态分布或方差不齐则以中位数(下四分位数,上四分位

数)表示,两组间比较采用Mann-Whitney U检验;3组间比较采用Kruskal-Wallis H检验,多重比较采用Bonferroni校正法。计数资料以例数和百分数表示,组间比较采用 $\chi^2$ 检验。采用组内相关系数(intraclass correlation coefficient, ICC)分析2名观察者间及观察者内RVMMI、RVTPMMI、RVSMTMI测量结果的一致性。50例PH患者各检测指标之间的相关性分析采用Pearson或Spearman相关分析。对RVEF保留组与RVEF减低组间及RVEF保留组与健康对照组间差异有统计学意义的CMR参数进行ROC曲线分析,分别评价这些参数对PH患者右心室功能障碍或受损的诊断价值。检验水准( $\alpha$ )为0.05。

## 2 结 果

**2.1 一般临床资料与右心导管检查结果** 本研究未排除任何病例,共纳入50例PH患者(女40例,占80.0%),其中RVEF保留组17例、RVEF减低组33例,另纳入健康对照25名。RVEF保留组男5例(29.4%),RVEF减低组男5例(15.2%),健康对照组男5例(20.0%),3组间性别构成差异无统计学意义( $P=0.490$ );3组间体表面积差异也无统计学意义[分别为 $1.65(1.56, 1.73)m^2$ 、 $1.62(1.49, 1.75)m^2$ 、 $1.59(1.65, 1.73)m^2$ , $P=0.934$ ]。RVEF保留组、RVEF减低组患者年龄[52(38, 60)岁、53(39, 61)岁]均大于健康对照组[41(26, 46)岁],差异均有统计学意义( $P=0.010, 0.001$ )。右心导管检查结果显示,RVEF减低组mPAP、sPAP、dPAP均高于RVEF保留组( $P$ 均<0.01)。见表1。

**表1 RVEF保留组和RVEF减低组PH患者的右心导管检查结果**

**Tab 1 Right heart catheterization measurements of PH patients with preserved or reduced RVEF**

Parameter	Preserved RVEF group $n=17$	Reduced RVEF group $n=33$	Statistic	$P$ value
mPAP/mmHg, $\bar{x} \pm s$	$37.12 \pm 3.50$	$49.45 \pm 1.96$	$t=3.344$	0.002
sPAP/mmHg, $\bar{x} \pm s$	$63.35 \pm 6.24$	$82.09 \pm 3.68$	$t=2.755$	0.008
dPAP/mmHg, $\bar{x} \pm s$	$20.35 \pm 2.06$	$29.76 \pm 1.29$	$t=4.046$	<0.001
mRAP/mmHg, $M(Q_L, Q_U)$	$3.00(2.16, 4.46)$	$5.00(4.33, 7.06)$	$Z=-1.901$	0.057
$SvO_2\%, \bar{x} \pm s$	$66.24 \pm 1.83$	$62.61 \pm 1.59$	$t=-1.409$	0.165
PVR/WU, $M(Q_L, Q_U)$	$8.50(6.89, 14.64)$	$14.17(12.29, 17.12)$	$Z=-1.946$	0.052

Preserved RVEF group: RVEF $\geq 45\%$ ; Reduced RVEF group: RVEF $<45\%$ . 1 mmHg=0.133 kPa. RVEF: Right ventricular ejection fraction; PH: Pulmonary hypertension; mPAP: Mean pulmonary artery pressure; sPAP: Systolic pulmonary arterial pressure; dPAP: Diastolic pulmonary arterial pressure; mRAP: Mean right atrial pressure;  $SvO_2$ : Oxygen saturation in mixed venous blood; PVR: Pulmonary vascular resistance; WU: Wood unit;  $M(Q_L, Q_U)$ : Median (lower quartile, upper quartile).

**2.2 观察者内、观察者间 RVMMI、RVTPMMI、RVSMTMI 测量结果的一致性分析** 随机抽取的 15 例受试者中 RVEF 保留组、RVEF 减低组、健康对照组分别为 4、6、5 例。一致性分析结果显示, 观察者内和观察者间 RVMMI、RVTPMMI、RVSMTMI 测量结果的一致性均较好, ICC 分别为 0.986 和 0.925、0.923 和 0.865、0.943 和 0.899。

**2.3 测量 RVMMI、RVTPMMI、RVSMTMI 所用时间** 第 1 名住院医师测量 RVMMI、RVTPMMI、RVSMTMI 所用时间分别为 15 (14, 18)、20 (17, 22)、2 (2, 3) min。

**2.4 相关性分析** 对 RVMMI、RVTPMMI、RVSMTMI 与部分常规 CMR 心功能参数及右心导管检查指标进行相关性分析, 结果显示 RVMMI、RVTPMMI、RVSMTMI 与 mRAP、mPAP、PVR、右心室舒张末期容积指数 (right ventricular end-diastolic volume index, RVEDVI) 均呈正相关, 与  $SvO_2$ 、RVEF 均呈负相关 ( $P$  均  $<0.01$ )。见表 2。

**2.5 健康对照组、RVEF 保留组及 RVEF 减低组 CMR 参数比较** 3 组间各 CMR 参数差异均有统计学意义 ( $P$  均  $<0.05$ ), RVEF 保留组 RVMMI、RVTPMMI、RVSMTMI 均高于健康对照组 ( $P$  均  $<0.05$ ), 而 RVEF、RVEDVI、右心室收缩末期容积指数 (right ventricular end-systolic volume index, RVESVI)、右心室每搏容积指数 (right ventricular

stroke volume index, RVSVI) 与健康对照组相比差异均无统计学意义 ( $P$  均  $>0.05$ ); RVEF 减低组 RVEDVI、RVESVI、RVMMI、RVTPMMI、RVSMTMI 均高于 RVEF 保留组和健康对照组 ( $P$  均  $<0.05$ ), RVEF 低于 RVEF 保留组和健康对照组 ( $P$  均  $<0.05$ )。见表 3。

**表 2 右心室质量指数与 RHC、CMR 心功能参数的相关性分析**

**Tab 2 Correlation analysis between right ventricular mass indexes and cardiac functional parameters of RHC and CMR**

Parameter	RVMMI	RVTPMMI	RVSMTMI	r
mRAP	0.549**	0.453**	0.486**	
$SvO_2$	-0.559**	-0.529**	-0.617**	
mPAP	0.538**	0.531**	0.538**	
PVR	0.624**	0.636**	0.656**	
RVEF	-0.676**	-0.619**	-0.679**	
RVEDVI	0.815**	0.761**	0.628**	

\*\* $P<0.01$ . RHC: Right heart catheterization; CMR: Cardiac magnetic resonance; RVMMI: Right ventricular myocardial mass index; RVTPMMI: Right ventricular trabecula and papillary muscle mass index; RVSMTMI: Right ventricular septomarginal trabecula mass index; mRAP: Mean right atrial pressure;  $SvO_2$ : Oxygen saturation in mixed venous blood; mPAP: Mean pulmonary artery pressure; PVR: Pulmonary vascular resistance; RVEF: Right ventricular ejection fraction; RVEDVI: Right ventricular end-diastolic volume index.

**表 3 3 组受试者 CMR 心脏功能与结构参数的比较**

**Tab 3 Comparison of CMR cardiac functional and structural parameters among 3 groups**

Parameter	Healthy control group $n=25$	Preserved RVEF group $n=17$	Reduced RVEF group $n=33$	Statistic	$P$ value
RVEF/%, $\bar{x} \pm s$	$58.16 \pm 0.86$	$52.38 \pm 1.47$	$31.94 \pm 1.27^{*\Delta}$	$F=142.843$	$<0.001$
RVEDVI/( $mL \cdot m^{-2}$ ), $\bar{x} \pm s$	$61.60 \pm 2.51$	$60.97 \pm 2.78$	$92.91 \pm 5.22^{*\Delta}$	$F=19.111$	$<0.001$
RVESVI/( $mL \cdot m^{-2}$ ), $\bar{x} \pm s$	$25.40 \pm 1.30$	$27.63 \pm 1.28$	$63.25 \pm 4.20^{*\Delta}$	$F=45.247$	$<0.001$
RVSVI/( $mL \cdot m^{-2}$ ), $\bar{x} \pm s$	$36.29 \pm 1.51$	$33.37 \pm 2.11$	$29.66 \pm 1.82^*$	$F=3.764$	0.028
RVMMI/( $g \cdot m^{-2}$ ), $M(Q_L, Q_U)$	$17.30 (14.55, 18.45)$	$30.30 (21.30, 34.15)^*$	$42.00 (35.25, 57.75)^{\Delta}$	$H=51.690$	$<0.001$
RVTPMMI/( $g \cdot m^{-2}$ ), $M(Q_L, Q_U)$	$4.00 (3.20, 4.85)$	$8.50 (7.35, 10.85)^*$	$13.50 (10.70, 19.05)^{\Delta}$	$H=47.144$	$<0.001$
RVSMTMI/( $g \cdot m^{-2}$ ), $M(Q_L, Q_U)$	$0.80 (0.65, 1.05)$	$1.20 (0.85, 1.85)^*$	$2.60 (1.85, 3.40)^{\Delta}$	$H=43.940$	$<0.001$

Preserved RVEF group: RVEF  $\geq 45\%$ ; Reduced RVEF group: RVEF  $<45\%$ . \* $P<0.05$  vs healthy control group;  $^{\Delta}P<0.05$  vs preserved RVEF group. CMR: Cardiac magnetic resonance; RVEF: Right ventricular ejection fraction; RVEDVI: Right ventricular end-diastolic volume index; RVESVI: Right ventricular end-systolic volume index; RVSVI: Right ventricular stroke volume index; RVMMI: Right ventricular myocardial mass index; RVTPMMI: Right ventricular trabecula and papillary muscle mass index; RVSMTMI: Right ventricular septomarginal trabecula mass index;  $M(Q_L, Q_U)$ : Median (lower quartile, upper quartile).

**2.6 CMR 参数评价 PH 患者右心室功能障碍、早期右心室功能受损的价值** 对 RVEF 保留组与 RVEF 减低组间差异有统计学意义的右心室 CMR

参数诊断右心室功能障碍及早期右心室功能受损的效能进行 ROC 曲线分析, 结果如图 2 所示, RVMMI、RVTPMMI、RVSMTMI、RVEDVI、

RVESVI 均对 PH 患者的右心室功能障碍有较好的诊断效能, AUC 值分别为 0.864、0.829、0.842、0.832、0.939, 最佳临界值分别为  $33.10 \text{ g/m}^2$ 、 $10.35 \text{ g/m}^2$ 、 $1.95 \text{ g/m}^2$ 、 $77.36 \text{ mL/m}^2$ 、 $42.86 \text{ mL/m}^2$ , 灵敏度分别为 0.765、0.765、0.824、0.941、1.000, 特异度分别为 0.848、0.818、0.727、0.697、0.818。

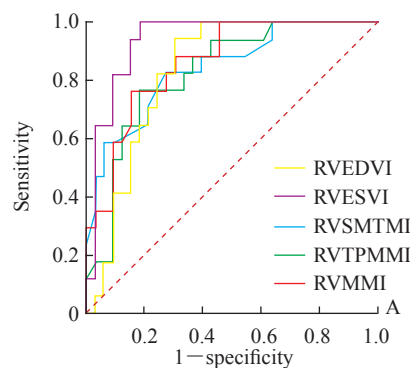


图 2 CMR 参数评价 PH 患者右心室功能障碍 (A) 和 RVEF 保留型 PH 患者右心室功能受损 (B) 的 ROC 曲线

Fig 2 ROC curves of CMR parameters to evaluate right ventricular dysfunction in PH patients (A) and right ventricular function impairment in PH patients with preserved RVEF (B)

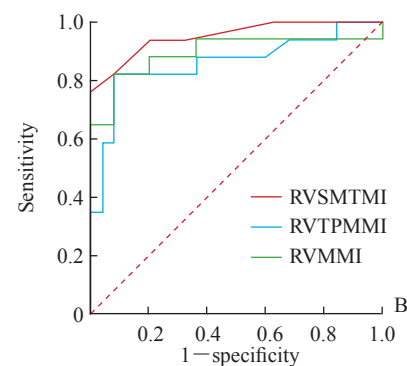
CMR: Cardiac magnetic resonance; PH: Pulmonary hypertension; RVEF: Right ventricular ejection fraction; ROC: Receiver operating characteristic; RVEDVI: Right ventricular end-diastolic volume index; RVESVI: Right ventricular end-systolic volume index; RVSMTMI: Right ventricular septomarginal trabecula mass index; RVTPMMI: Right ventricular trabecula and papillary muscle mass index; RVMMI: Right ventricular myocardial mass index.

### 3 讨 论

本研究中, PH 患者的 RVMMI、RVTPMMI、RVSMTMI 均较健康对照增加, 并对 RVEF 保留型 PH 患者的右心室功能受损有较好的诊断效能, 这说明 PH 患者的 RVEF 尚在正常范围内即发生了右心室形态学改变, RVMMI、RVTPMMI、RVSMTMI 等形态学指标均较 RVEF、RVEDVI 等常规心功能指标更早出现适应性改变。

右心室形态呈新月形, 壁薄, 且对于压力变化的适应能力超过左心室。右心室在形态上与左心室的显著不同之一是右心室有很多粗大的小梁<sup>[10]</sup>。TPM 是凸入心室腔内的复杂肌束网, 是心室肌的重要组成部分<sup>[7]</sup>。SMT 是右心室 TPM 的重要组成部分, 起源于室间隔基底部, 连于右心室游离壁和室间隔之间<sup>[11]</sup>。在 PH 早期, 持续增加的肺血管压力会使右心室发生代偿性改变, 包括心肌细胞肥大及一定程度的心肌纤维化, 从而使右心室壁增厚、出现向心性肥大、收缩力增加以维持足够的 RVEF 和心输出量, 以上这种改变也被称为右心室适应性重构<sup>[1,10,12]</sup>。随着 PH 的进展, 当右心室收缩力的增

加无法对抗持续升高的肺动脉压力时, 右心室表现出离心性肥大, 右心室收缩力减弱, 最终出现右心室功能下降。在适应性重构过程中, 右心室心肌发生高度小梁化, 提示 TPM 在右心室体积和质量的评估中具有不可忽略的意义<sup>[7]</sup>。



Vogel-Claussen 等<sup>[8]</sup>在一项针对 49 例 PH 患者的研究中发现, RVSMTMI 与 RVMMI、RVEDVI、RVESVI 呈正相关, 与 RVEF 呈负相关, 且 RVMMI 与 mPAP、sPAP 之间也呈正相关。Dong 等<sup>[11]</sup>针对 60 例 PH 患者的研究发现, SMT 直径指数、面积指数和质量指数均与 RVEF 呈负相关。以上研究结果说明, 随着 RVEF 的减低, PH 患者的右心室 SMT 质量及右心室质量均增加。本研究结果显示, RVMMI、RVTPMMI、RVSMTMI 与 mRAP、mPAP、PVR、RVEDVI 均呈正相关, 与  $\text{SvO}_2$ 、RVEF 均呈负相关, 说明右心室结构质量指数会随着心功能的下降而增加, 可用于反映 PH 患者心功能减退的严重程度。进一步的 ROC 曲线分析结果显示, 右心室结构质量指数及 RVEDVI、RVESVI 均对 PH 患者的右心室功能障碍有较好的诊断效能, 这提示右心室结构质量指数与常规 CMR 心功

能参数 (RVEF、RVEDVI、RVESVI) 均可用于评价 PH 患者的右心室功能障碍, 当 PH 患者右心室功能出现明显障碍时, 右心室通过离心性肥大进行重构, 既有心肌的肥大又出现了明显的右心室扩张。

本研究结果还显示, RVEF 保留组的 RVMMI、RVTPMMI、RVSMTMI 均高于健康对照组, 而这两组间 RVEF、RVEDVI、RVESVI、RVSVI 差异均无统计学意义。说明右心室结构质量指数的增加是 PH 早期右心室重塑过程中的重要改变, 能比 RVEF 等右心室功能参数更早地反映 PH 患者的早期右心室功能受损, 这也再次证明 PH 早期右心室形态学改变的发生较心功能改变更早、更显著。

本研究中, 右心室结构质量指数的测量结果在观察者内及观察者间一致性均较好, 说明 CMR 右心室结构质量的测量有可重复性。此外, 与 RVMMI、RVTPMMI 相比, RVSMTMI 的测量用时更短, 操作更简便。因此, CMR 右心室结构质量指数尤其 RVSMTMI 为 PH 患者右心室功能障碍或早期受损的评估提供了一个可能方向, 而右心室功能的评估对于 PH 的治疗及预后评价有重要意义<sup>[4,13]</sup>。

本研究存在一些局限性。首先, 本研究为单中心研究且样本量较小, 研究结果仍需要大样本量研究进一步验证。其次, 本研究仅针对结缔组织病相关性、慢性血栓栓塞性 2 类 PH 患者, 对于是否能代表所有亚型的 PH 患者还需要进一步探讨。

## [参考文献]

- [1] CASSADY S J, RAMANI G V. Right heart failure in pulmonary hypertension[J]. Cardiol Clin, 2020, 38: 243-255.
- [2] 中华医学会心血管病学分会肺血管病学组, 中华心血管病杂志编辑委员会. 中国肺高血压诊断和治疗指南 2018[J]. 中华心血管病杂志, 2018, 46: 933-964.
- [3] GALIÈ N, HUMBERT M, VACHIERY J L, GIBBS S, LANG I, TORBICKI A, et al. 2015 ESC/ERS Guidelines for the diagnosis and treatment of pulmonary hypertension: the joint task force for the diagnosis and treatment of pulmonary hypertension of the European Society of Cardiology (ESC) and the European Respiratory Society (ERS): endorsed by: Association for European Paediatric and Congenital Cardiology (AEPC), International Society for Heart and Lung Transplantation (ISHLT)[J]. Eur Heart J, 2016, 37: 67-119.
- [4] BRONCANO J, BHALLA S, GUTIERREZ F R, VARGAS D, WILLIAMSON E E, MAKAN M, et al. Cardiac MRI in pulmonary hypertension: from magnet to bedside[J]. Radiographics, 2020, 40: 982-1002.
- [5] DAWES T J W, CAI J S, QUINLAN M, DE MARVAO A, OSTROWSKI P J, TOKARCZUK P F, et al. Fractal analysis of right ventricular trabeculae in pulmonary hypertension[J]. Radiology, 2018, 288: 386-395.
- [6] KARAKUS G, ZENCIRCI E, DEGIRMENCI OGLU A, GÜVENC T S, UNAL AKSU H, YILDIRIM A. Easily measurable, noninvasive, and novel finding for pulmonary hypertension: hypertrophy of the basal segment of septomarginal trabeculation of right ventricle[J]. Echocardiogr Mo Kisco N Y, 2017, 34: 290-295.
- [7] VAN DE VEERDONK M C, DUSOSWA S A, MARCUS J T, BOGAARD H J, SPRUIJT O, KIND T, et al. The importance of trabecular hypertrophy in right ventricular adaptation to chronic pressure overload[J]. Int J Cardiovasc Imaging, 2014, 30: 357-365.
- [8] VOGEL-CLAUSSEN J, SHEHATA M L, LOSSNITZER D, SKROK J, SINGH S, BOYCE D, et al. Increased right ventricular septomarginal trabeculation mass is a novel marker for pulmonary hypertension: comparison with ventricular mass index and right ventricular mass[J]. Investig Radiol, 2011, 46: 567-575.
- [9] ASCHAUER S, KAMMERLANDER A A, ZOTTER-TUFARO C, RISTL R, PFAFFENBERGER S, BACHMANN A, et al. The right heart in heart failure with preserved ejection fraction: insights from cardiac magnetic resonance imaging and invasive haemodynamics[J]. Eur J Heart Fail, 2016, 18: 71-80.
- [10] SANZ J, SÁNCHEZ-QUINTANA D, BOSSONE E, BOGAARD H J, NAEIJE R. Anatomy, function, and dysfunction of the right ventricle: JACC state-of-the-art review[J]. J Am Coll Cardiol, 2019, 73: 1463-1482.
- [11] DONG Y, SUN J Y, YANG D, HE J, CHENG W, WAN K, et al. Right ventricular septomarginal trabeculation hypertrophy is associated with disease severity in patients with pulmonary arterial hypertension[J]. Int J Cardiovasc Imaging, 2018, 34: 1439-1449.
- [12] SHARIFI KIA D, KIM K, SIMON M A. Current understanding of the right ventricle structure and function in pulmonary arterial hypertension[J/OL]. Front Physiol, 2021, 12: 641310. DOI: 10.3389/fphys.2021.641310.
- [13] 任雯, 张璋, 杨帆, 杨振文, 李东. 心脏磁共振心功能指标评估肺动脉高压患者预后的价值[J]. 第二军医学报, 2019, 40: 262-269.
- REN W, ZHANG Z, YANG F, YANG Z W, LI D. Prognosis value of cardiac magnetic resonance cardiac function index in patients with pulmonary hypertension[J]. Acad J Sec Mil Med Univ, 2019, 40: 262-269.